

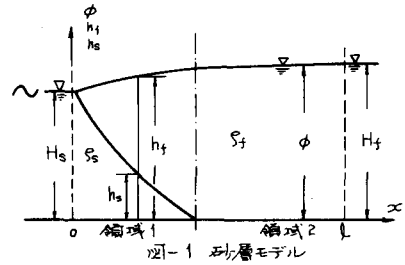
○正員 八代高専 藤野 和彦  
正員 塩倉建設 高下 友久

1. はじめに

近年、水資源の不足により、海岸近くで地下水を取水したり、また構造物の設置に伴い湧水を取水する場合が広がってきている。このため地下水位の低下により、塩水楔が内陸部へ進行し、地下水の塩水化が問題となっている。本報は地下水位、塩水楔の挙動特性を把握するため、潮汐に伴うそれぞれの挙動を非定常解は数値計算を行い、定常解は解析解と求め計算値と実験値の比較を行ったものである。また実験により、潮汐と地下水位、塩分濃度の関係と明らかにしようとしたものである。

2. 基礎式と解の誘導

(1)定常解 ダルニ-則より  $Q = -\{R(\phi + \beta) \cdot \partial\phi / \partial x\} / \partial x$  (1)  
ここで、 $\beta$  は定数である。  $\bar{\phi} = \frac{1}{2} R \alpha (\phi + \beta) \alpha^2 + C$  (2)  
と定義すると、連続の式は  $\partial\bar{\phi} / \partial x^2 = 0$  (3) となる。  
領域1では  $\bar{\phi}_1 = \frac{1}{2} R S_0 (S_0 - S_1) (\phi - H_0) \alpha^2 + C_1$  領域2では  
 $\bar{\phi}_2 = \frac{1}{2} R \phi^2 + C_2$  と表わせる。塩水楔先端位置で  $\bar{\phi}_1 = \bar{\phi}_2$   
より  $C_1 = 0$  とすると  $C_2 = -\frac{1}{2} R H_0^2 S_0 / S_1$  となる。

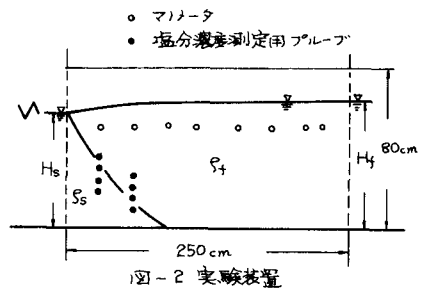


よって領域1では  $\bar{\phi}_1 = \frac{1}{2} R S_0 (S_0 - S_1) (\phi - H_0) \alpha^2$  (4) 領域2では  $\bar{\phi}_2 = \frac{1}{2} R \phi^2 - \frac{1}{2} R H_0^2 S_0 / S_1$  (5)  
ある塩水楔先端位置での  $\bar{\phi}$  は  $\bar{\phi} = \frac{1}{2} R H_0^2 S_0 / S_1 (S_0 - S_1) / S_1$  (6) となる。式(3)と境界条件  $x=0$  で  $\bar{\phi}=0$ 、 $x=l$  で  $\bar{\phi} = \frac{1}{2} R (H_1^2 - H_0^2 S_0 / S_1)$  を用いて解くと  $\bar{\phi} = \frac{1}{2} R (H_1^2 - H_0^2 S_0 / S_1) x$  (7)  
式(7)と塩水楔先端の条件式(6)を用いて、各々の領域の中を求めることが出来る。

(2)非定常解 連続の式は淡水層について  $(n/R) \cdot \partial(R_1 - R_0) / \partial t = \partial R_1 / \partial x (\partial R_1 / \partial x - \partial R_0 / \partial x) + \partial^2 R_0 / \partial x^2 (R_1 - R_0)$  (8)  
塩水層について  $(n/R) \cdot \partial R_0 / \partial t = (R_1 / S_1) \{ \partial R_1 / \partial x (\partial R_1 / \partial x) + R_0 \partial R_1 / \partial x^2 \} + \partial S / \partial x \{ \partial R_1 / \partial x + R_0 \partial R_1 / \partial x^2 \}$  (9)  
となる。式(8)、(9)を連立させて解を求めると、差分法として Explicit法を用いた。ある塩水楔先端位置の差分方法は  $R_0$  の値が変化する 0 とする格子長の一つ前の格子長で、塩水流速が等しいという条件を用いると、  
 $\Delta S / S_1 \cdot R (R_1 - R_0 i) / (T - x_i) = \Delta S / S_1 \cdot R \cdot (R_0 i - R_0 i-1) / \Delta x$  (10) となる。Yが塩水楔先端位置である。  
ここで、 $R$ : 透水係数、 $n$ : 空げき率、 $H_0$ : 塩水ヘッドタンクの水位、 $H_1$ : 淡水ヘッドタンクの水位、 $R_1$ : 淡水位、 $R_0$ : 塩水位、 $S_1$ : 塩水密度、 $S_0$ : 淡水密度、 $\Delta S = S_0 - S_1$ 、 $i$ : 格子長番号、 $\Delta x$ : 差分間隔である。

3. 実験装置

実験装置は図-2に示すように、左右にヘッドタンクを設けた長さ250cm、幅40cm、高さ80cmの長方形水槽で塩水側に潮汐ポンプ装置をつけたものである。水頭測定のためのマノメータは塩水ヘッドタンクより30、60、90、115、150、180、210、225cmの長に設けてあり、以後図-2の左のマノメータより  $H_1 \sim H_8$  と呼ぶ。塩分濃度測定のためのアルブは塩水ヘッドタンクより30、60cmの長に各々5cm置きに4個ずつ設け、あり30cmの長のアルブをEから  $C_1 \sim C_4$ 、60cmの長のアルブをEから  $C_5 \sim C_8$  とする。実験は水槽内に、平均粒径  $d = 0.5\text{mm}$  程度の砂をつめて行い、この場合測定により透水係数  $R = 0.305\text{cm/sec}$



空げ率  $n=0.4$  であった。また淡水、塩水密度は各々の  $\rho_s = 1.09 \text{ g/cm}^3$ ,  $\rho_f = 1.025 \text{ g/cm}^3$  を用いた。実験として、まず塩水位  $H_3 = 51.0 \text{ cm}$ 、淡水位  $H_4 = 53.0 \text{ cm}$  で定常状態を形成させ、淡水位、塩水楔形状を測定し、次に淡水位  $H_4 = 53.0 \text{ cm}$  と一定に保ち、潮汐装置により塩水位  $H_3$  のこぼり形状を振動させ淡水位、塩分濃度を測定した。

4. 実験結果及び実験値と計算値の比較

図-3に周期  $T=474 \text{ sec}$ 、振幅  $a=4.76 \text{ cm}$  の非定常時の塩水楔形状を示す。実線は実験値であり、塩水はウランを用いて着色し、着色水の上端を示したものであるが、塩水ヘッドタンクより  $50 \text{ cm}$  以上結ぶた長では、塩水楔形状の変動は本実験においてほとんど確認できないものであった。一長、二長時は  $H_3 = 56.0, 46.7 \text{ cm}$  とした時長での楔形状の計算値であり、濃度は  $H_3 = 51.46 \text{ cm}$  (平均水位) として求めた解析値である。図-4に非定常時の淡水位変動を示す。ここで時長は  $H_3 = 51.6 \text{ cm}$  の時長を0分として示したものである。この図において淡水位の挙動を計算値は傾斜を表わしていると思われ、かなりの誤差を含んでいる。この原因としては、本計算では空げ率  $n=0.4$  を用いているためと思われ、実際現象を表わするには有初空げ率を用いる必要があると思われる。

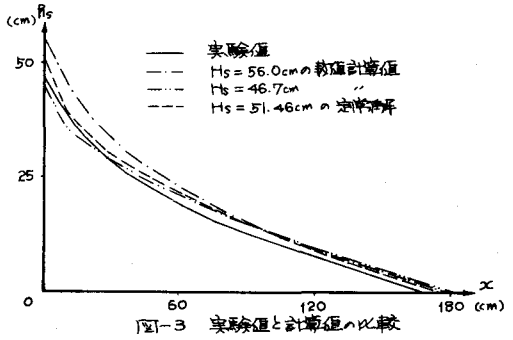


図-5に淡水位、塩水楔の各長の振幅を示す。両者ともに指数関数的に減少しており、淡水位の振幅については実験値、計算値はほぼ一致を得ているものと思われる。図-6に無次元量  $\frac{x}{H_3}$  と  $\frac{x}{H_3}$  の関係を示す。この図より、位相の遅れは図-1に示す領域より、2の逆斜なく、ほぼ塩水ヘッドタンクからの距離に比例していると思われる。なお白丸は福岡市西戸崎の実験値であり、実験値とのずれは基板の影響、塩分濃度の変化によるものと思われる。この図の勾配は位相遅れを表わすが両者とも勾配はほぼ一致しており、位相遅れを求めると、 $C = (1/2.35) \cdot \sqrt{(2\rho_f H_3 \omega) / (\rho_s a \omega)}$  となる。潮汐と塩分濃度の関係を求めると、塩分濃度に比例しても、位相の遅れは塩水ヘッドタンクからの距離に比例する結果を得ている。

5. 考察

定常時にはほぼ現象を表わし得ていると思われ、非定常時には、多少の誤差を含んでいる。なかには空げ率の値をどのように定めるかによるものもあり、今後検討しなくてはならないと考えている。また位相の遅れは距離に比例しており、等距離にある二つの変動量(淡水位と塩分濃度)の相関はある一定値を持つものと思われる。

参考文献

- 1). Strick, O. D. L.: A Single-Potential Solution for Regional Interface Problem in Coastal Aquifers, Water, P.R. 12(6) 1976.
- 2). 尾島勝: 外水変動に対する自由地下水の非定常挙動に関する研究(第33回年報)

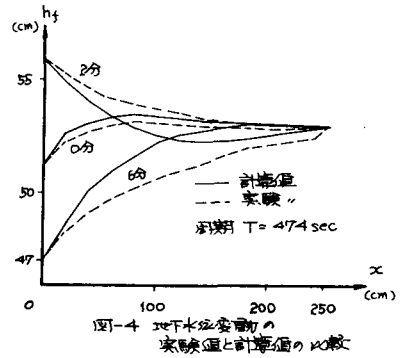


図-4 地下水位変動の 実験値と計算値の比較

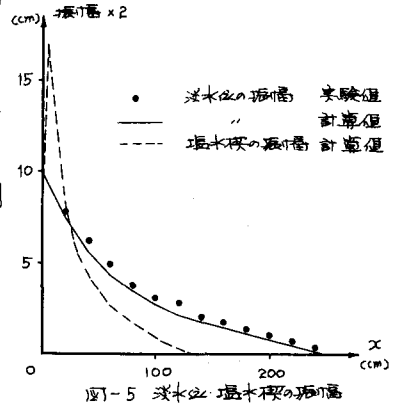


図-5 淡水位、塩水楔の振幅

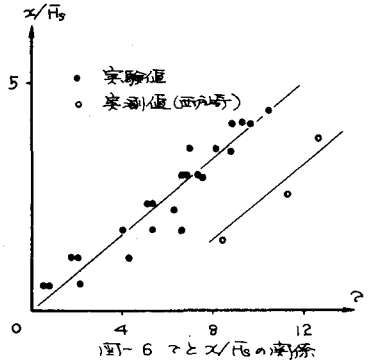


図-6  $x/H_3$  と  $x/H_3$  の関係